

「包括的技術報告書」 誤記等 修正対応表

2026年1月27日 修正箇所

英語版

章	ページ	位置 (行など)	修正前	修正後
8	8-2～8-5	-	前回修正時に発生したページの落丁	適切なページに修正

「包括的技術報告書」 誤記等 修正対応表

2025年7月2日 修正箇所

英語版

章	ページ	位置 (行など)	修正前	修正後
4	4-30	Figure 4.4-2	後記の「第4章 Figure4.4-2の修正対応表」参照	後記の「第4章 Figure4.4-2の修正対応表」参照
4	4-43	上から10行目	Kunigel <u>IV</u>	Kunigel <u>V1</u>
4	4-107	Figure 4.5-23	後記の「第4章 Figure4.5-23の修正対応表」参照	後記の「第4章 Figure4.5-23の修正対応表」参照
4	4-108	Table 4.5-20	後記の「第4章 Table4.5-20の修正対応表」参照	後記の「第4章 Table4.5-20の修正対応表」参照
6	6-14	Table 6.1-5	後記の「第6章 Table6.1-5の修正対応表」参照	後記の「第6章 Table6.1-5の修正対応表」参照
6	6-125	Figure 6.4-20	核種移行プロセスモデルと 被ばくプロセスモデルの図のうち、後者のみを記載	核種移行プロセスモデルの図を追加

「包括的技術報告書」 誤記等 修正対応表

2025年7月2日

本編英語版第4章 Figure 4.4-2 の修正対応表

修正前 (誤)

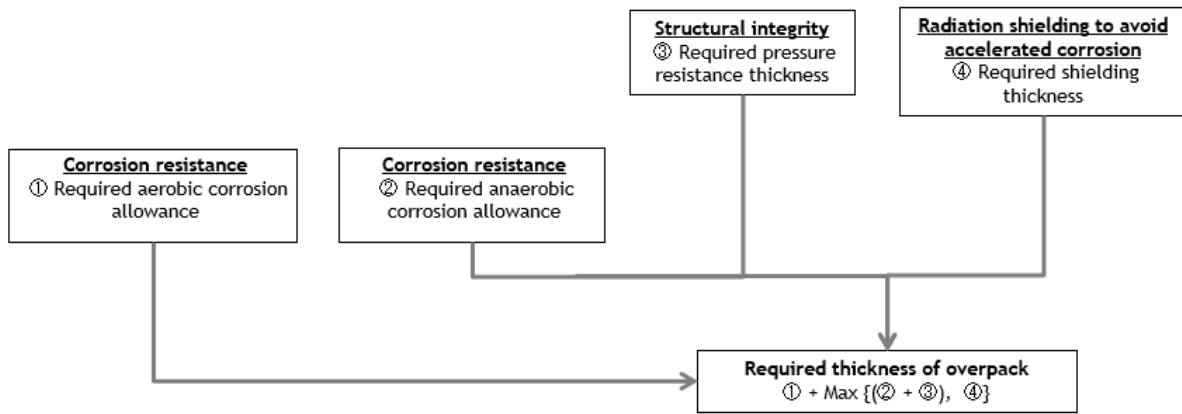


Figure 4.4-2 Setting overpack thickness

修正後 (正)

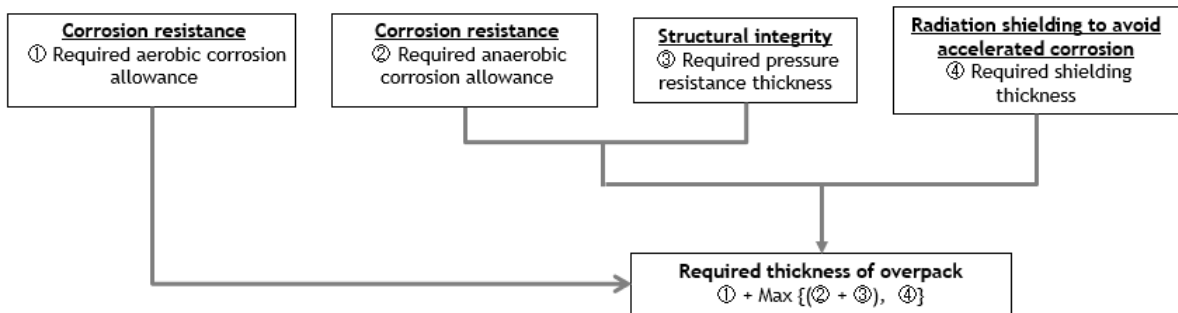


Figure 4.4-2 Setting overpack thickness

修正前 (誤)

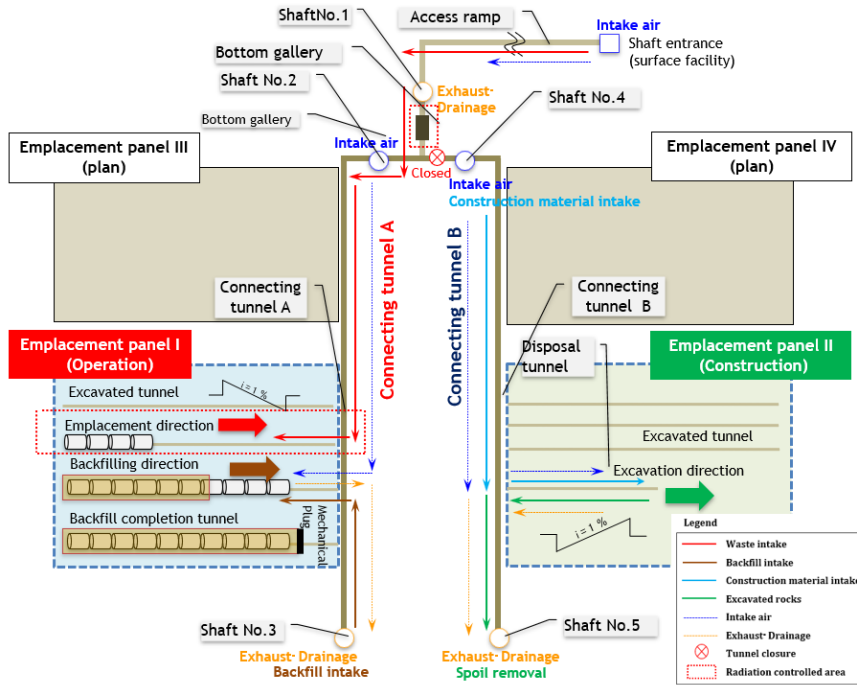


Figure 4.5-23 Conceptual sketch of tunnel layout (HLW DET panels)

修正後 (正)

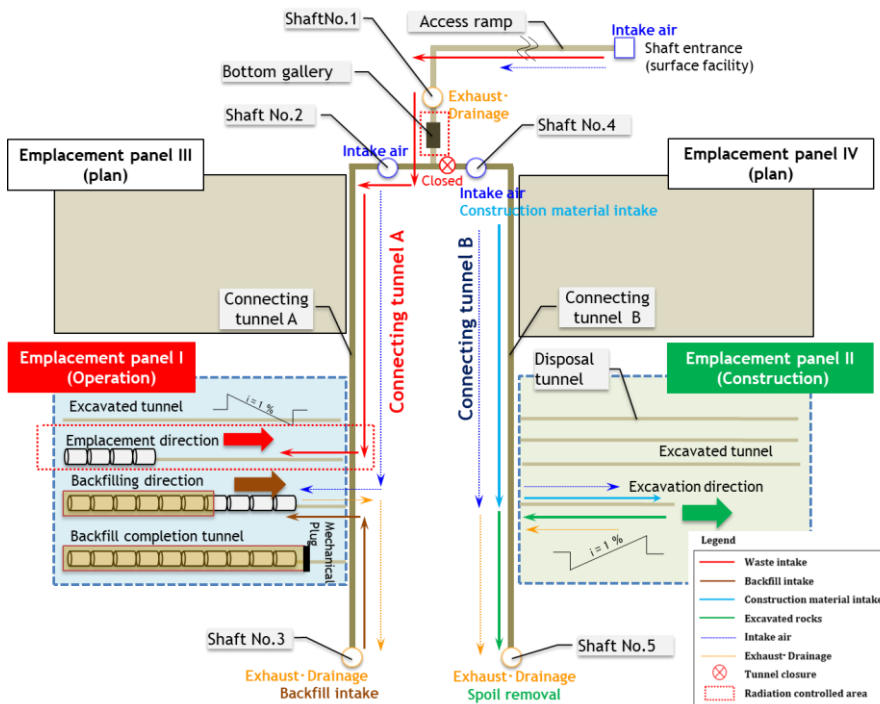


Figure 4.5-23 Conceptual sketch of tunnel layout (HLW DET panels)

修正前 (誤)

Table 4.5-20 Access roles (H12V/PEM DET panels)

No.	Name	Function	Ventilation role
Ramp	Ramp	Transport of overpack and buffer or PEM	Air intake
Shaft No.1	Ramp ventilation shaft	Ramp drainage	Exhaust (active)
Shaft No.2	Materials transport shaft A	Construction, backfill materials, personnel and equipment	Air intake
Shaft No.3	Spoil removal shaft A	Excavated spoil, drainage	Exhaust (active)
Shaft No.4	Materials transport shaft B	Construction, backfill materials, personnel and equipment	Air intake
Shaft No.5	Spoil removal shaft B	Excavated spoil, drainage	Exhaust (inactive)

修正後 (正)

Table 4.5-20 Access roles (H12V/PEM DET panels)

No.	Name	Function	Ventilation role
Ramp	Ramp	Transport of overpack and buffer or PEM	Air intake
Shaft No.1	Ramp ventilation shaft	Ramp drainage	Exhaust (active)
Shaft No.2	Materials transport shaft A	Construction, personnel and equipment	Air intake
Shaft No.3	Spoil removal shaft A	Excavated spoil, backfill materials and drainage	Exhaust (active)
Shaft No.4	Materials transport shaft B	Construction, personnel and equipment	Air intake
Shaft No.5	Spoil removal shaft B	Excavated spoil, backfill materials and drainage	Exhaust (inactive)

修正前 (誤)

Table 6.1-5 Selected radionuclides for biosphere assessment

Nuclide	Half-life (y)	Nuclide	Half-life (y)
C-14	5.7×10^3	Pa-233	7.4×10^{-2}
Cl-36	3.0×10^5	U-232	6.9×10
Co-60	5.3	U-233	1.6×10^5
Ni-59	1.0×10^5	U-234	2.5×10^5
Ni-63	1.0×10^2	U-235	7.0×10^8
Se-79	3.0×10^5	U-236	2.3×10^7
Sr-90	2.9×10	U-238	4.5×10^9
Zr-93	1.5×10^6	Np-236	1.5×10^5
Nb-93m	1.6×10	Np-237	2.1×10^6
Nb-94	2.0×10^4	Pu-236	2.9
Mo-93	4.0×10^3	Pu-238	8.8×10
Tc-99	2.1×10^5	Pu-239	2.4×10^4
Pd-107	6.5×10^6	Pu-240	6.6×10^3
Sn-126	2.3×10^5	Pu-241	1.4×10
I-129	1.6×10^7	Pu-242	3.8×10^5
Cs-135	2.3×10^6	Pu-244	8.0×10^7
Cs-137	3.0×10	Am-241	4.3×10^2
Pb-210	2.2×10	Am-242m	1.4×10^2
Po-210	3.8×10^{-1}	Am-243	7.4×10^3
Ra-226	1.6×10^3	Cm-242	4.5×10^{-1}
Ra-228	5.8	Cm-243	2.9×10
Ac-227	2.2×10	Cm-244	1.8×10
Th-228	1.9	Cm-245	8.5×10^3
Th-229	7.3×10^3	Cm-246	4.8×10^3
Th-230	7.5×10^4	Cm-247	1.6×10^7
Th-232	1.4×10^{10}	Cm-248	3.5×10^5
Pa-231	3.3×10^4		

Table 6.1-5 Selected radionuclides for biosphere assessment

Nuclide	Half-life (y)	Nuclide	Half-life (y)
C-14	5.7×10^3	Pa-233	7.4×10^{-2}
Cl-36	3.0×10^5	U-232	6.9×10
Co-60	5.3	U-233	1.6×10^5
Ni-59	1.0×10^5	U-234	2.5×10^5
Ni-63	1.0×10^2	U-235	7.0×10^8
Se-79	3.0×10^5	U-236	2.3×10^7
Sr-90	2.9×10	U-238	4.5×10^9
Zr-93	1.5×10^6	Np-236	1.5×10^5
Nb-93m	1.6×10	Np-237	2.1×10^6
Nb-94	2.0×10^4	Pu-236	2.9
Mo-93	4.0×10^3	Pu-238	8.8×10
Tc-99	2.1×10^5	Pu-239	2.4×10^4
Pd-107	6.5×10^6	Pu-240	6.6×10^3
Sn-126	2.3×10^5	Pu-241	1.4×10
I-129	1.6×10^7	Pu-242	3.8×10^5
Cs-135	2.3×10^6	Pu-244	8.0×10^7
Cs-137	3.0×10	Am-241	4.3×10^2
Pb-210	2.2×10	Am-242m	1.4×10^2
Po-210	3.8×10^{-1}	Am-243	7.4×10^3
Ra-226	1.6×10^3	Cm-243	2.9×10
Ra-228	5.8	Cm-244	1.8×10
Ac-227	2.2×10	Cm-245	8.5×10^3
Th-228	1.9	Cm-246	4.8×10^3
Th-229	7.3×10^3	Cm-247	1.6×10^7
Th-230	7.5×10^4	Cm-248	3.5×10^5
Th-232	1.4×10^{10}		
Pa-231	3.3×10^4		

修正前 (誤)

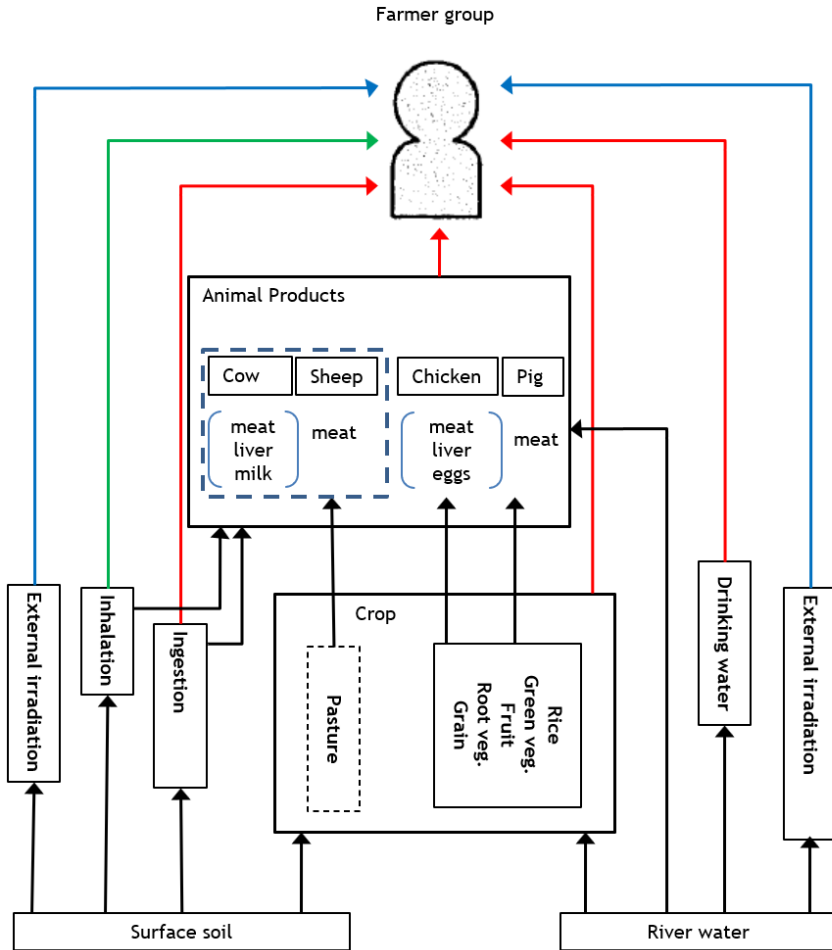


Figure 6.4-20 Example of RN migration and radiation exposure processes in the biosphere (River water GBI, temperate climate, farmer exposure group)

修正後 (正)

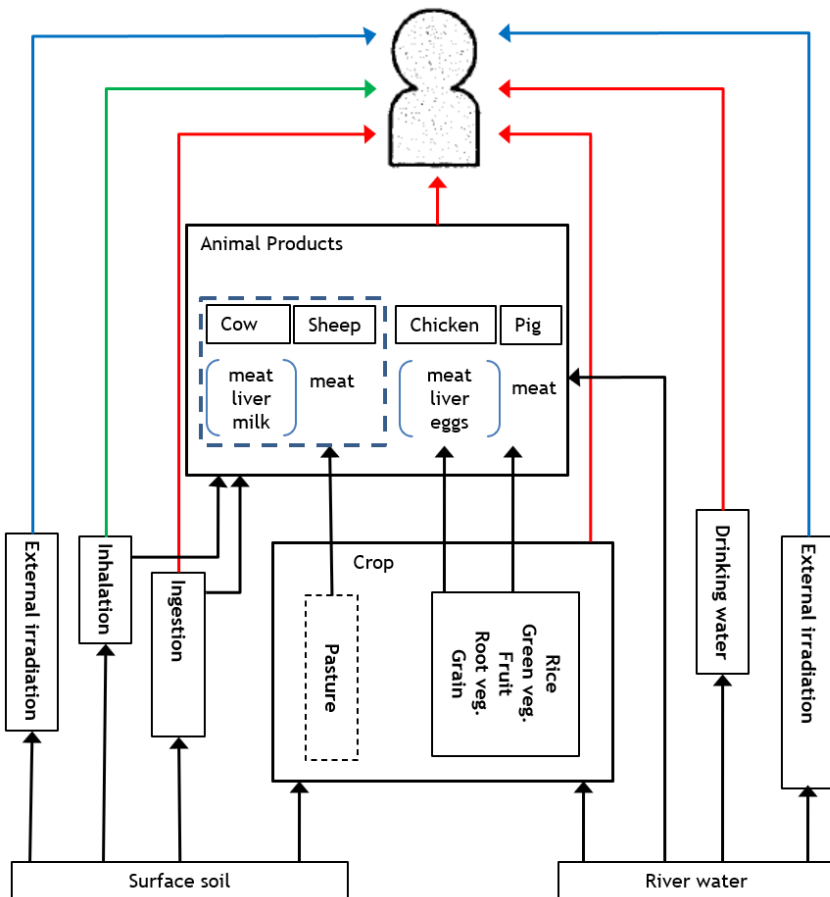
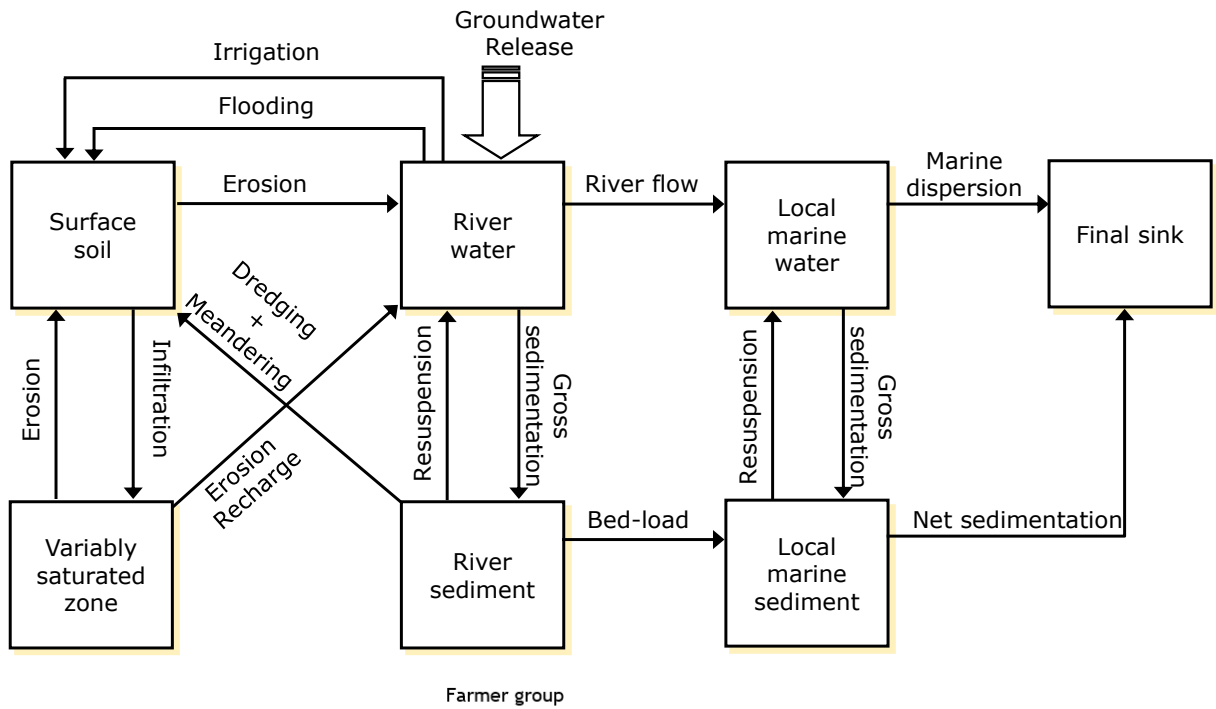


Figure 6.4-20 Example of RN migration and radiation exposure processes in the biosphere (River water GBI, temperate climate, farmer exposure group)

「包括的技術報告書」 誤記等 修正対応表

2023年7月21日 修正箇所

英語版

章	ページ	位置 (行など)	修正前	修正後
3	3-7	上から3行目	(1) Characteristics of a suitable geological environment	(1) Features of geological environments in Japan
3	3-48	Figure 3.3-7	Complex <u>Extent</u>	Complex <u>Matrix composition</u>
3	3-58	Figure 3.3-19 凡例	Hydraulic head (m)	Darcy flux (m/s)
3	3-60	Figure 3.3-21 凡例	凡例とプロットの色が異なる	凡例とプロットの色を統一
3	3-83	Table 3.3-16	Pre-NeogeneとNeogeneの記載が逆転	中央がNeogene、右がPre-Neogene
4	4-22	下から12行目	Grs. <u>1</u> and 4L have no buffer.	Grs. <u>3</u> and 4L have no buffer.
4	4-22	下から10行目	箇条書きのインデント位置がずれている	箇条書きのインデント位置を修正
4	4-23	上から10行目	箇条書きのインデント位置がずれている	箇条書きのインデント位置を修正
4	4-23	上から12行目	箇条書きのインデント位置がずれている	箇条書きのインデント位置を修正
6	6-72	下から6行目	Table 6.3- <u>11</u>	Table 6.3- <u>10</u>
6	6-100	下から13行目	for plutonic rocks and <u>Neogene</u> sediments	for plutonic rocks and <u>Pre-Neogene</u> sediments
6	6-102	下から13～14行目	plutonic rocks and <u>Neogene</u> sediments; for <u>Pre-Neogene</u> sediments	plutonic rocks and <u>Pre-Neogene</u> sediments; for <u>Neogene</u> sediments
6	6-103	上から8行目 (修正後は上から8～9行目)	(plutonic rocks and <u>Neogene</u> sediments)	(plutonic rocks and <u>Pre-Neogene</u> sediments)
6	6-112	上から8行目	Cs, Sr and <u>Ra</u>	Cs, Sr, <u>Ra</u> and <u>Pb</u>
6	6-112	上から9行目	Co, Ni, <u>Pd</u> and <u>Pb</u>	Co, Ni and <u>Pd</u>
6	6-130	Figure 6.4-22 (右上、左下の図)	Estimated dose	Dose limit
6	6-135	下から13行目 (修正後は下から12～13行目)	<u>Neogene</u> sediments	<u>Pre-Neogene</u> sediments
6	6-140	Figure 6.4-26	Estimated dose	Dose limit
6	6-142	Figure 6.4-27	Dose limit for variant scenarios: 300 μSv/y	Dose from natural radiation in Japan: 2,100 μSv/y
6	6-142	Figure 6.4-27	Dose limit for base scenario: 10 μSv/y	Dose limit for variant scenarios: 300 μSv/y
6	6-144	Figure 6.4-28	Dose limit for variant scenarios: 300 μSv/y	Dose from natural radiation in Japan: 2,100 μSv/y
6	6-144	Figure 6.4-28	Dose limit for base scenario: 10 μSv/y	Dose limit for variant scenarios: 300 μSv/y

6	6-146	Figure 6.4-29	Dose limit for variant scenarios: 300 μ Sv/y	Dose from natural radiation in Japan: 2,100 μ Sv/y
6	6-146	Figure 6.4-29	Dose limit for base scenario: 10 μ Sv/y	Dose limit for variant scenarios: 300 μ Sv/y
6	6-147	Figure 6.4-30	Estimated dose	Dose limit
6	6-147	Figure 6.4-30 (右上の図)	TRU(waste package <u>B</u>)	TRU(waste package <u>A</u>)
6	6-148	Figure 6.4-31	Dose limit for variant scenarios: 300 μ Sv/y	Dose from natural radiation in Japan: 2,100 μ Sv/y
6	6-148	Figure 6.4-31	Dose limit for base scenario: 10 μ Sv/y	Dose limit for variant scenarios: 300 μ Sv/y
7	7-16	下から13行目	the boundary of the site <u>during</u> was significantly lower	the boundary of the site was significantly lower
7	7-18	Figure 7.2-3	Maximum dose (<u>m</u> Sv/y)	Maximum dose (<u>μ</u> Sv/y)
7	7-19	Figure 7.2-4	Maximum dose (<u>m</u> Sv/y)	Maximum dose (<u>μ</u> Sv/y)